

FIG. 1

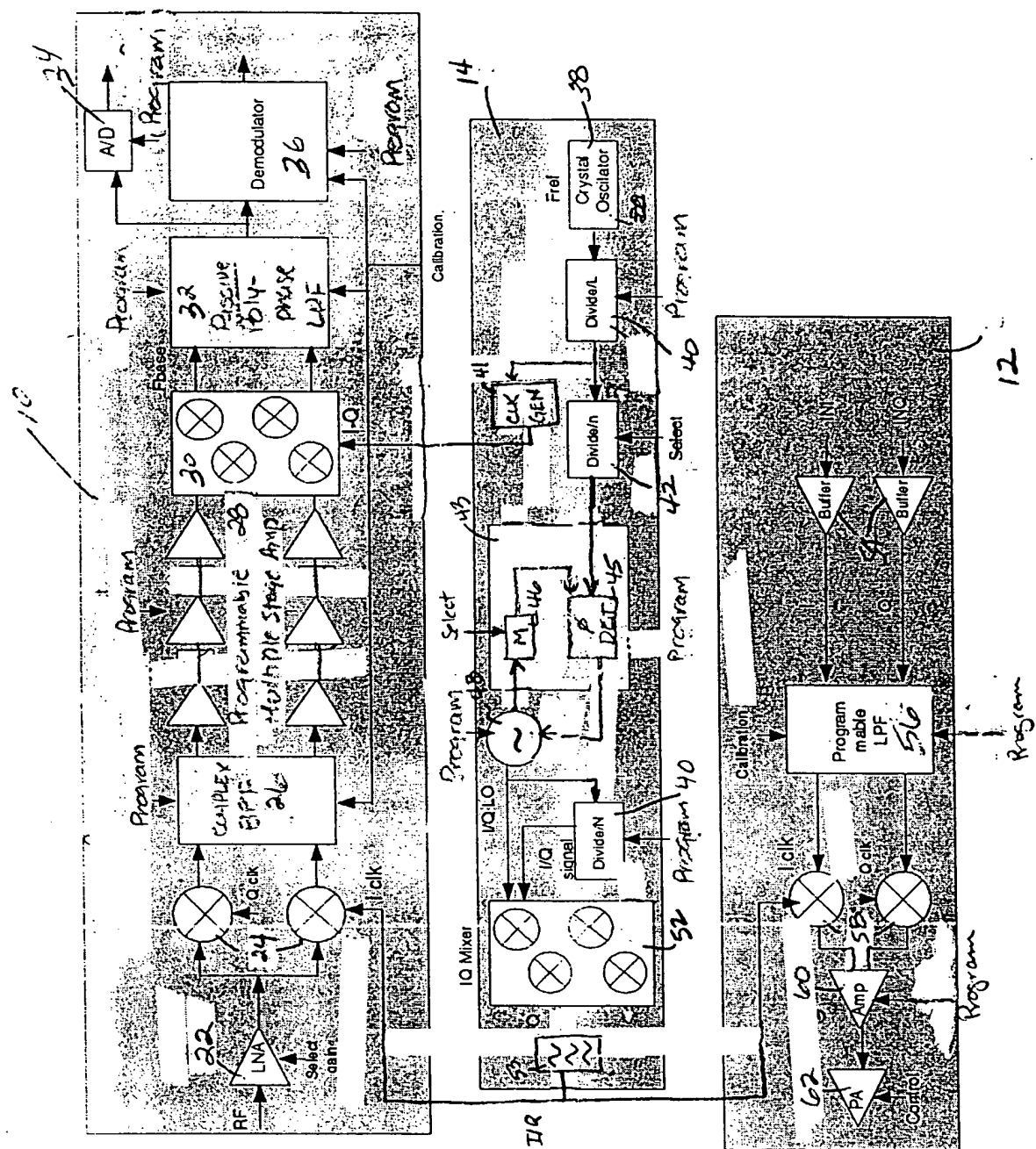


Fig. 2

00000000000000000000000000000000

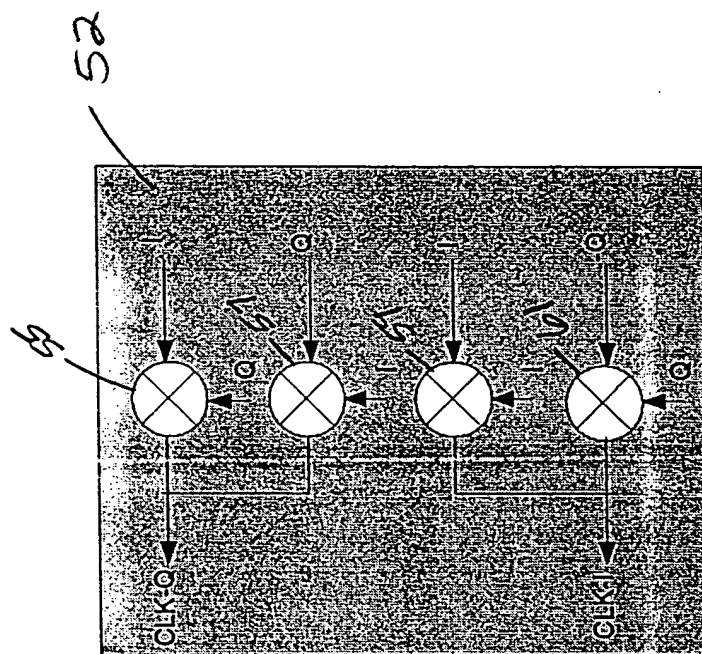


FIG. 3

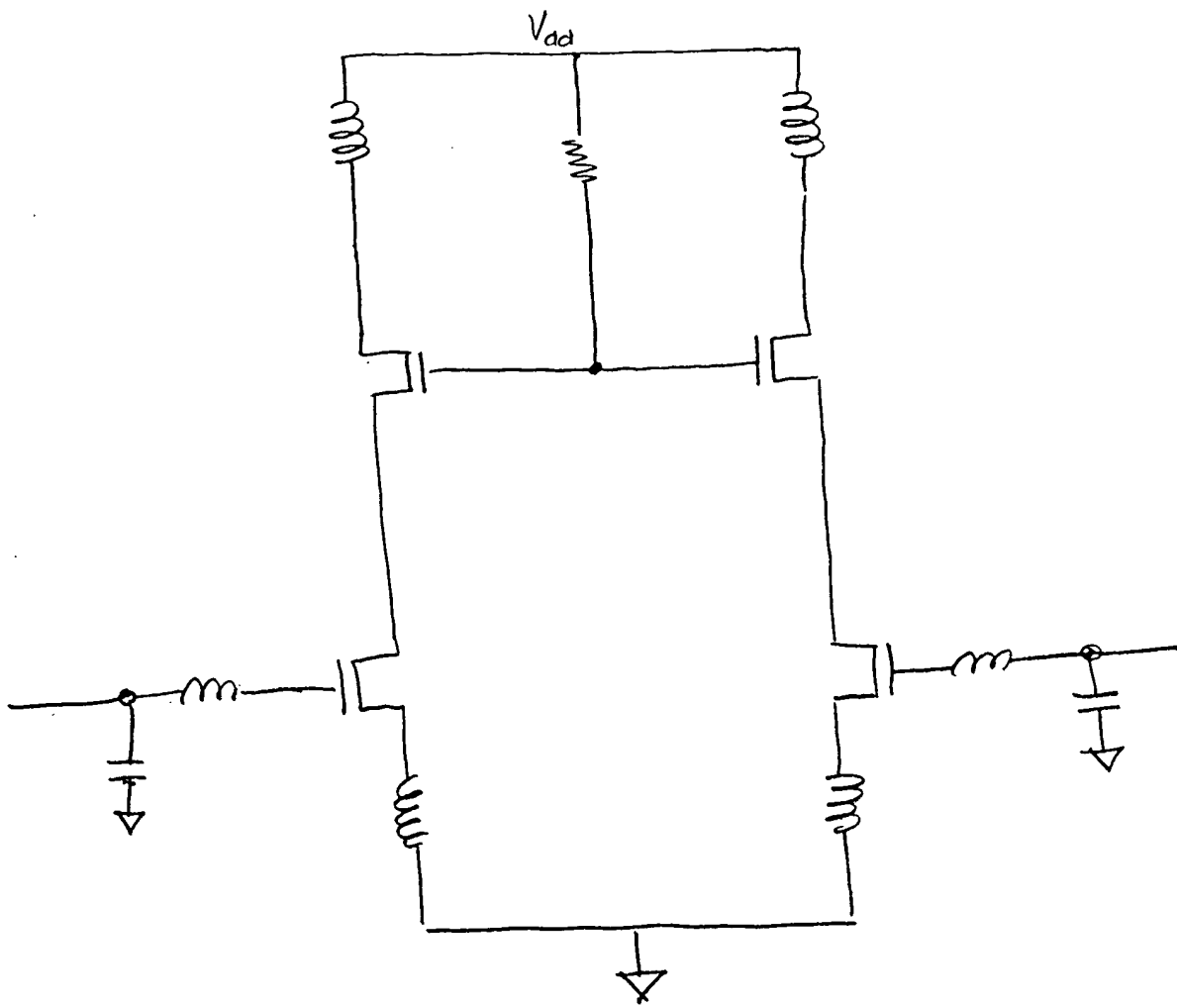
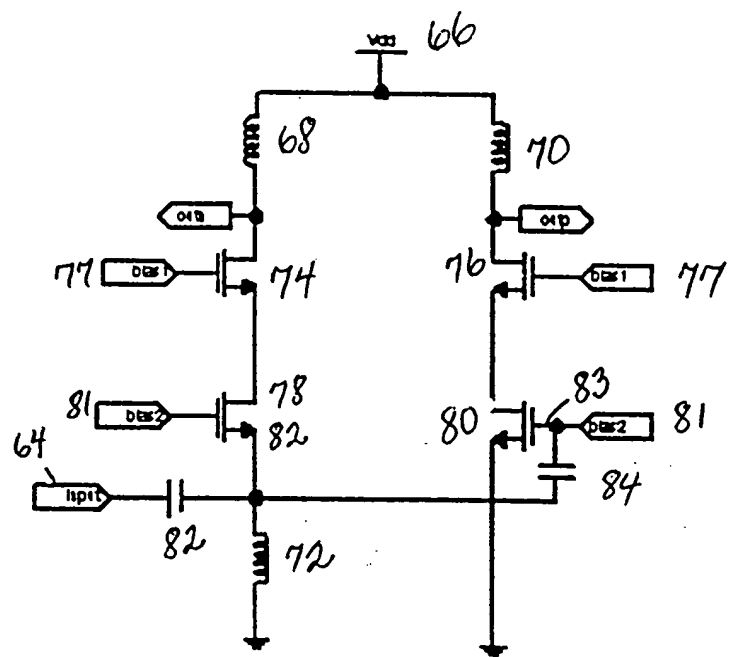


FIG. 4 (a)



**FIG. 4**

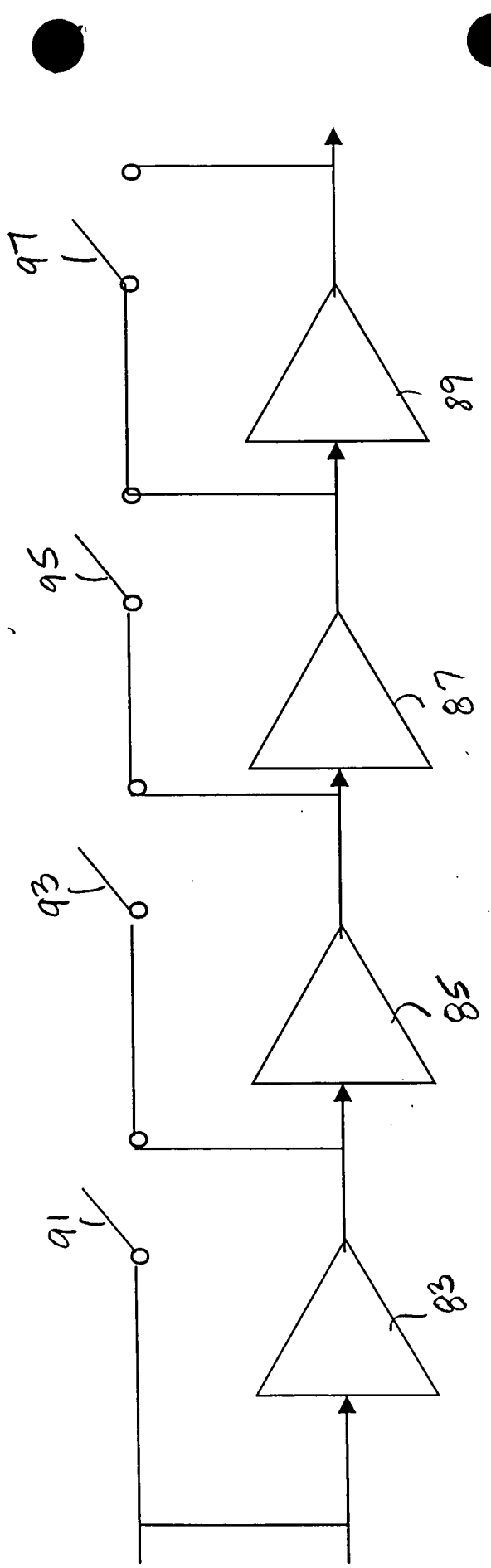


FIG. 5

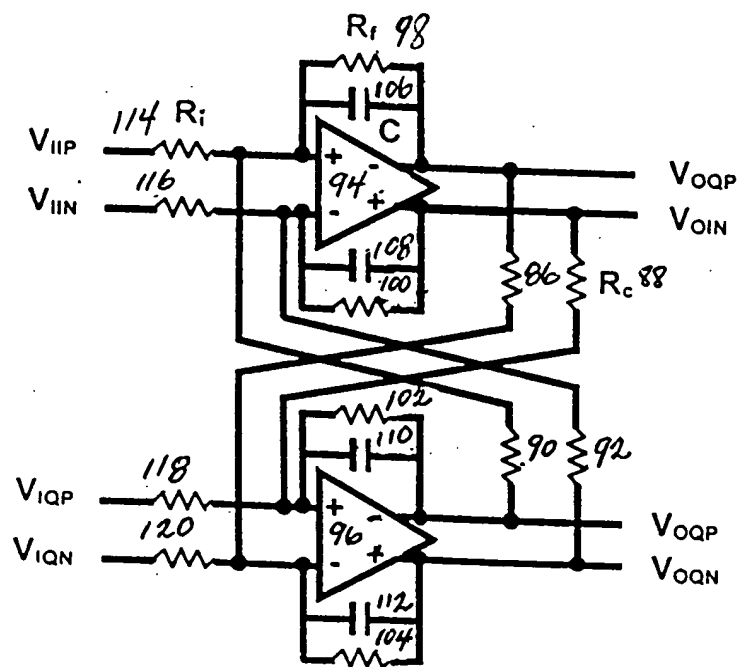


FIG. 6

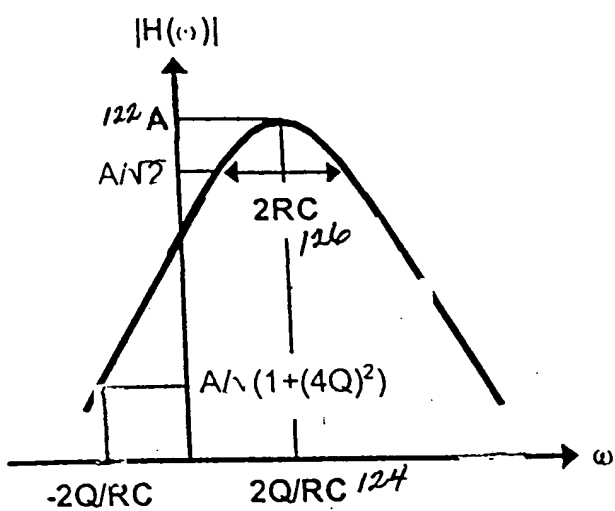
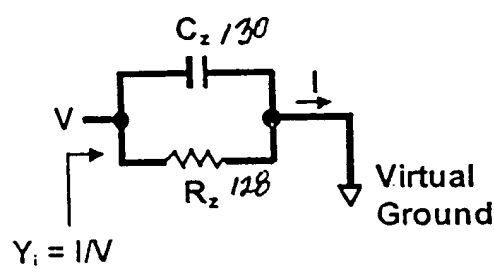


FIG. 7

003604-22976960



$$Y_i = 1/V$$

FIG. 8

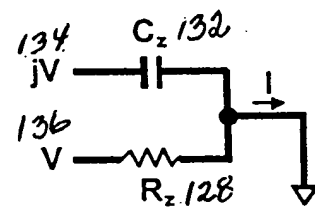


FIG. 9

003704-22976960

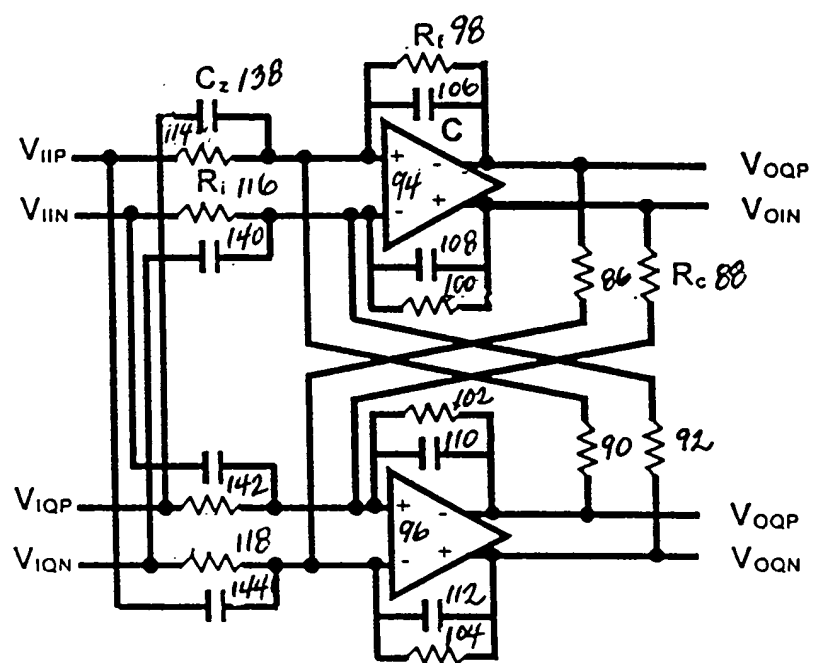


FIG. 10

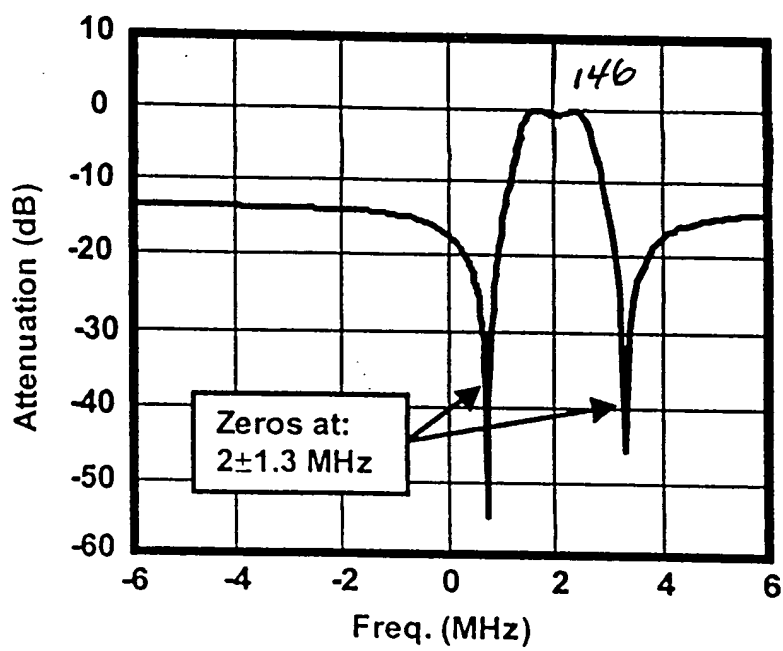


FIG. 11

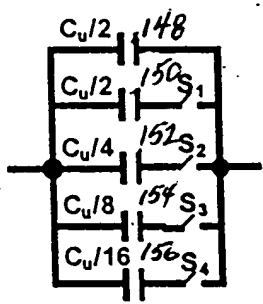


FIG. 12(a)

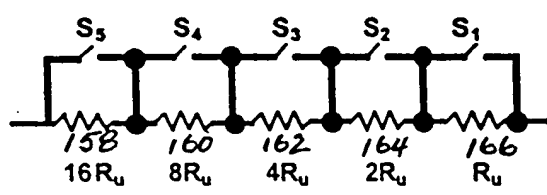


FIG. 12(b)

008707-22376560

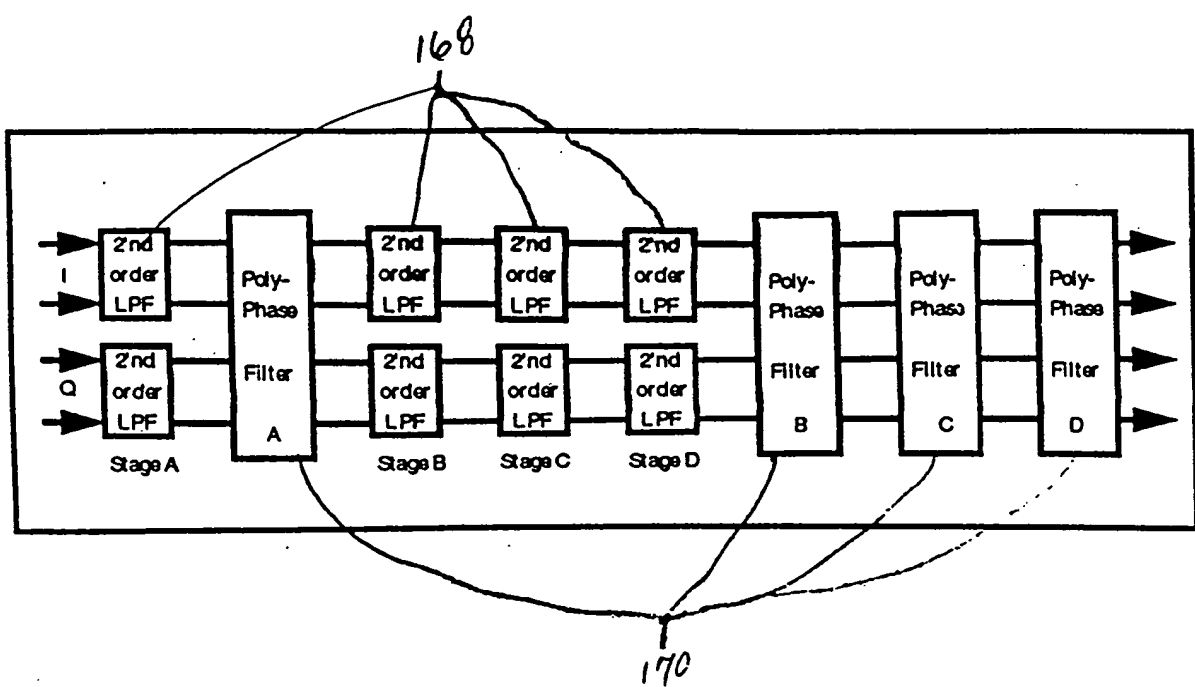


FIG. 13

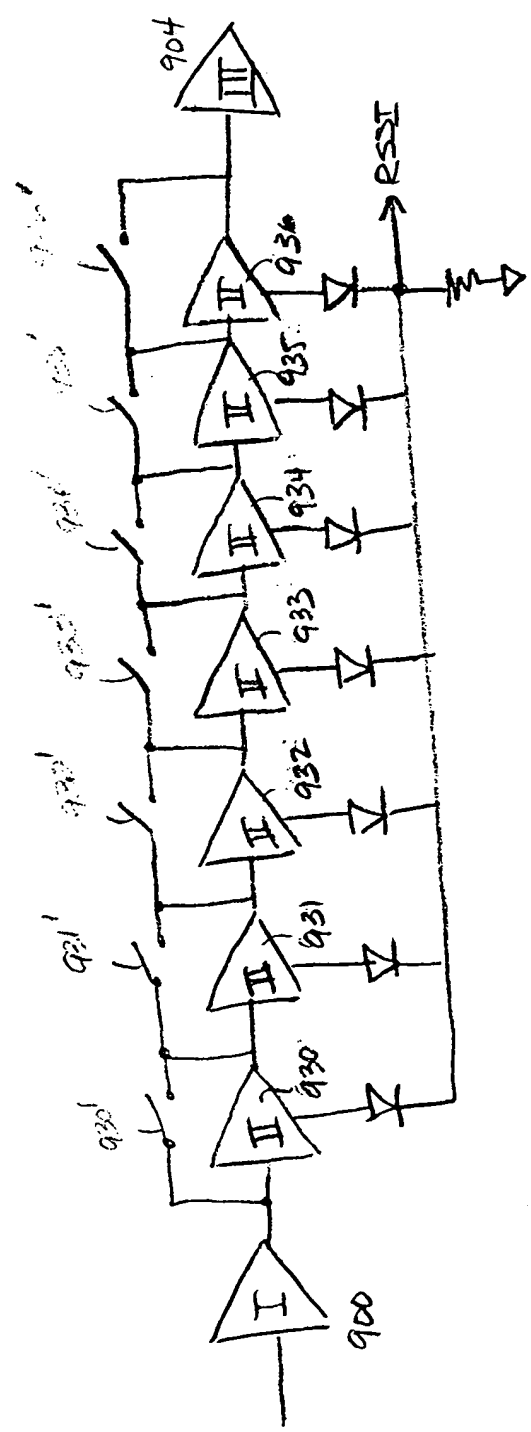


FIG. 14

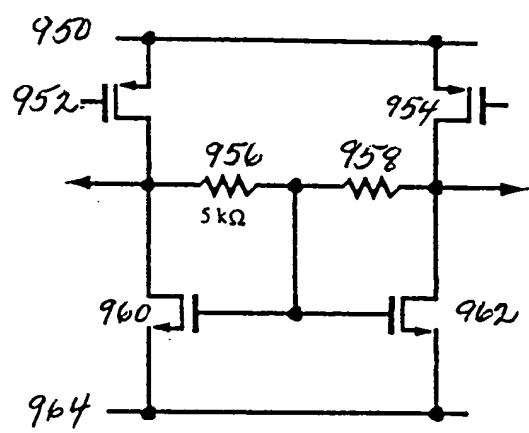


FIG. 15

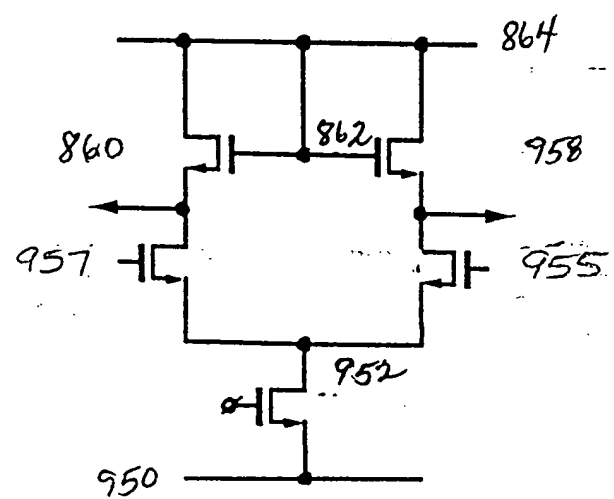


FIG. 16(a)

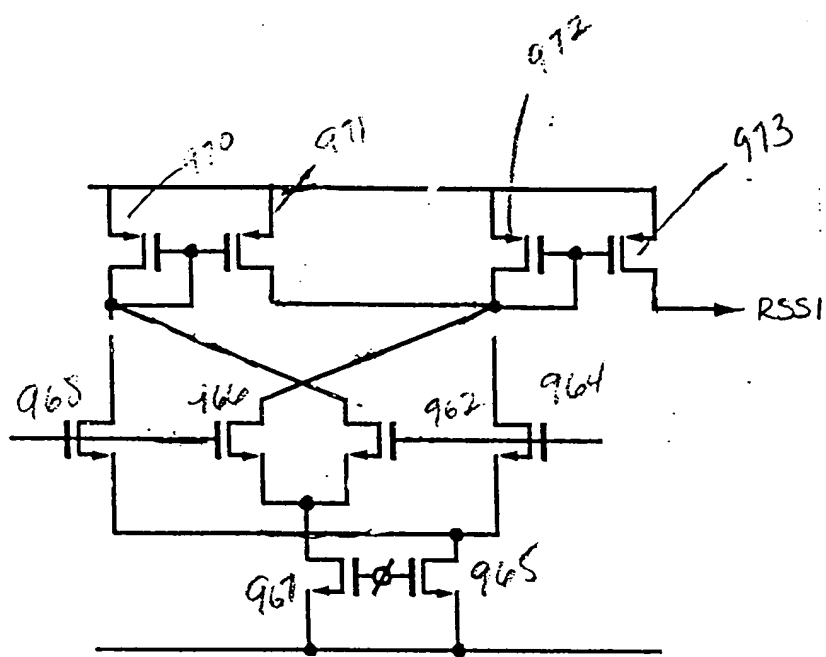


FIG. 16(b)

FIG. 17(a)

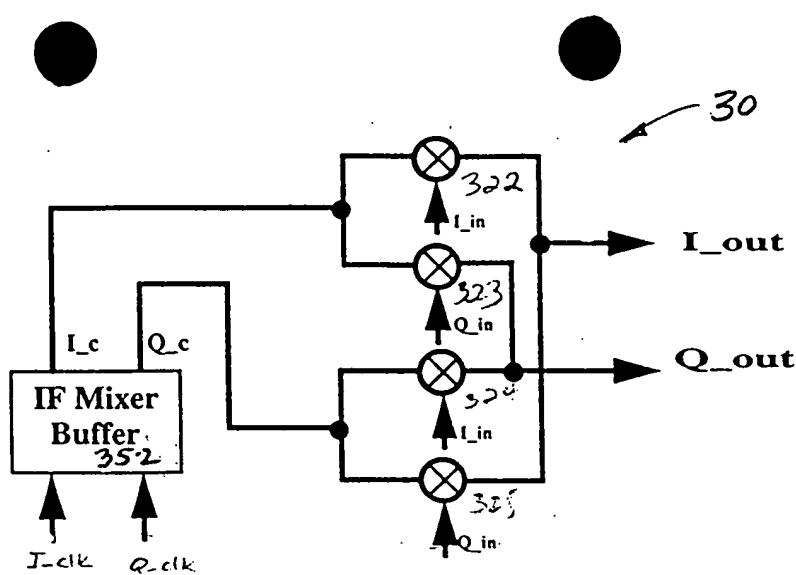
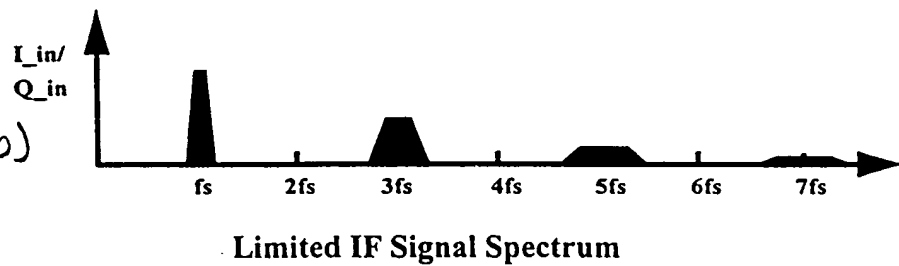
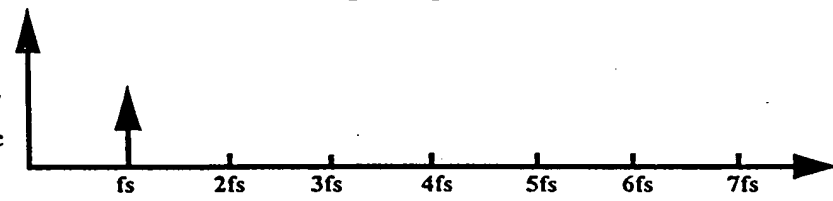


FIG. 17(b)



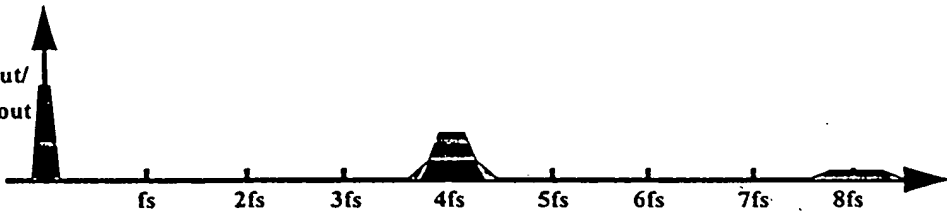
Limited IF Signal Spectrum

FIG. 17(c)



Sinusoidal Input Spectrum

FIG. 17(d)



IF Mixer Output Spectrum

FIG. 18

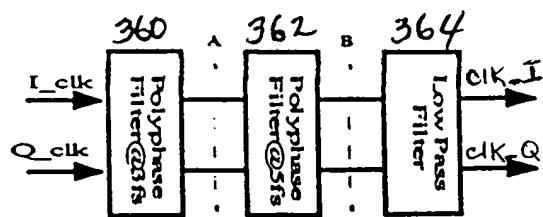


FIG. 19(a)

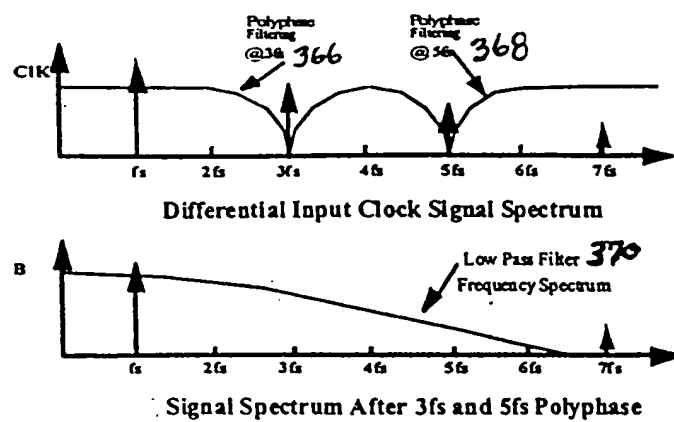


FIG. 19(b)

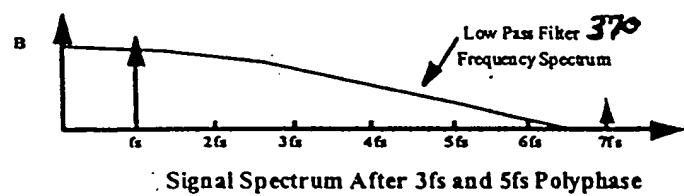
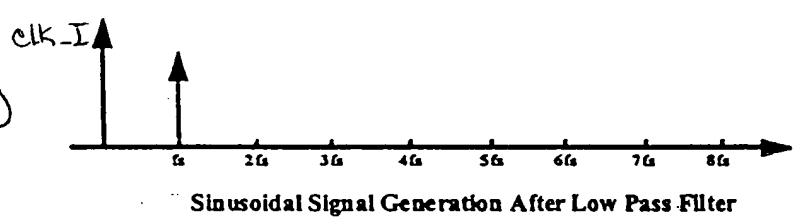


FIG. 19(c)



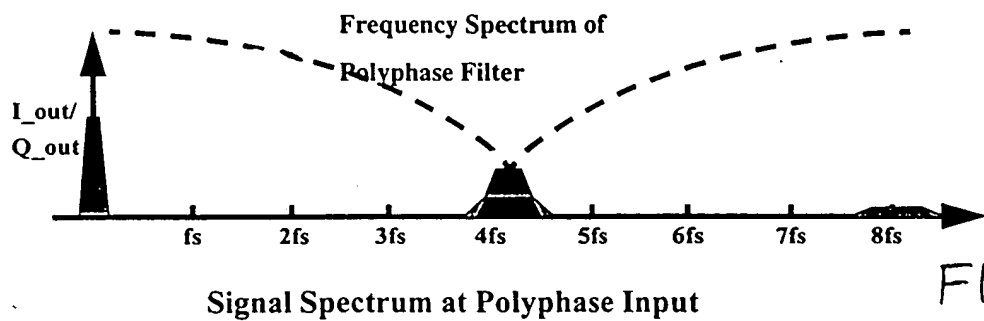


FIG. 20(a)

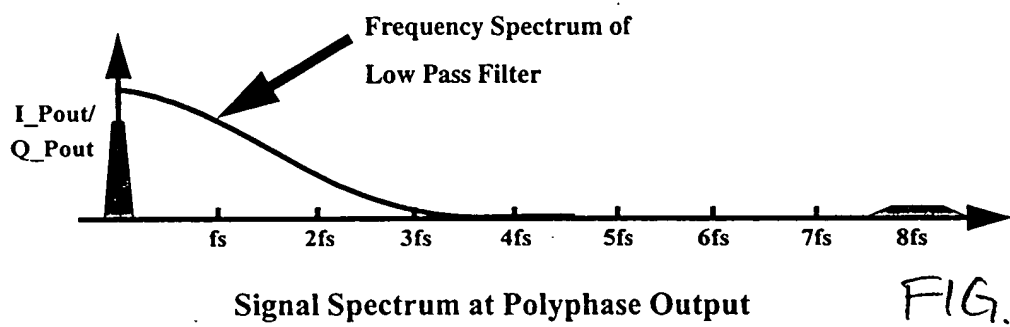


FIG. 20(b)

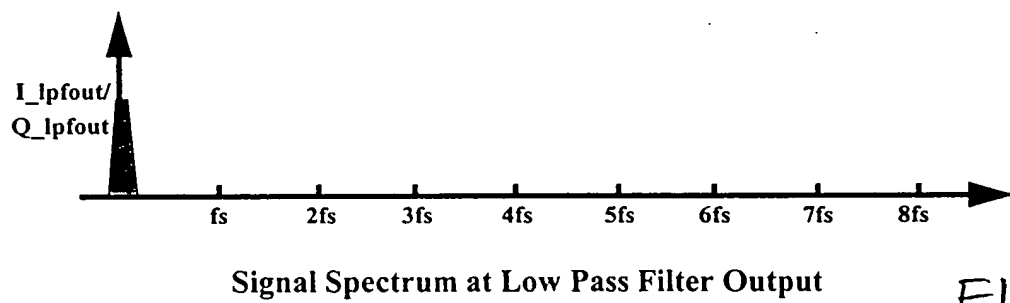


FIG. 20(c)

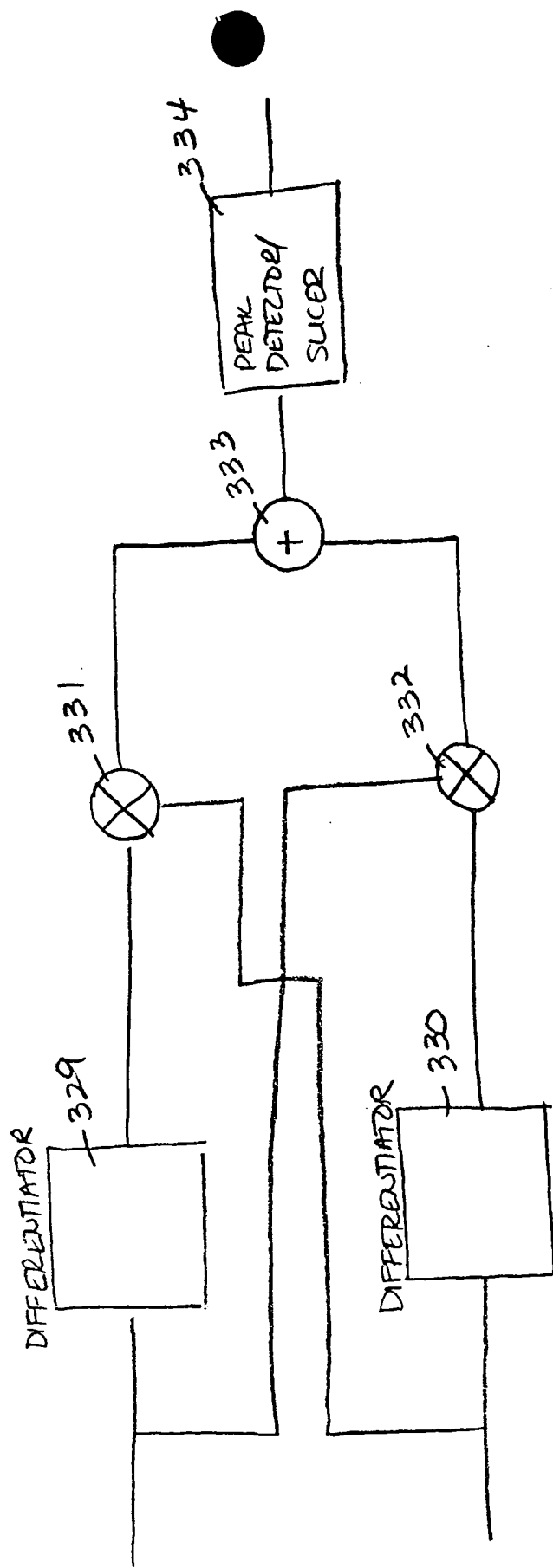


FIG. 21

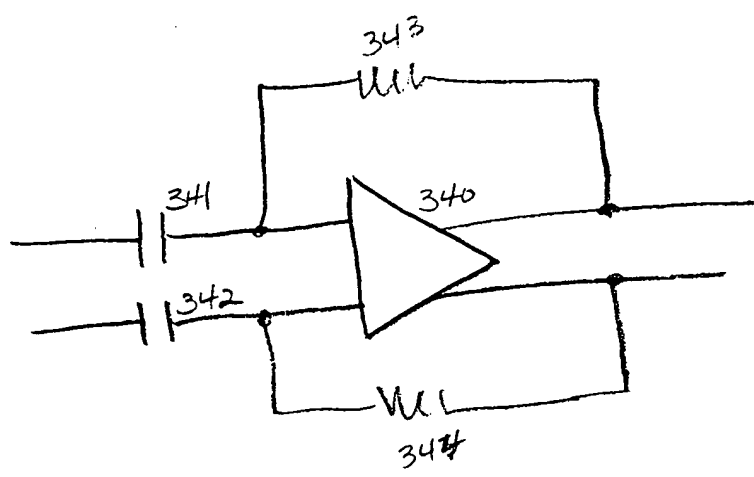


FIGURE 22

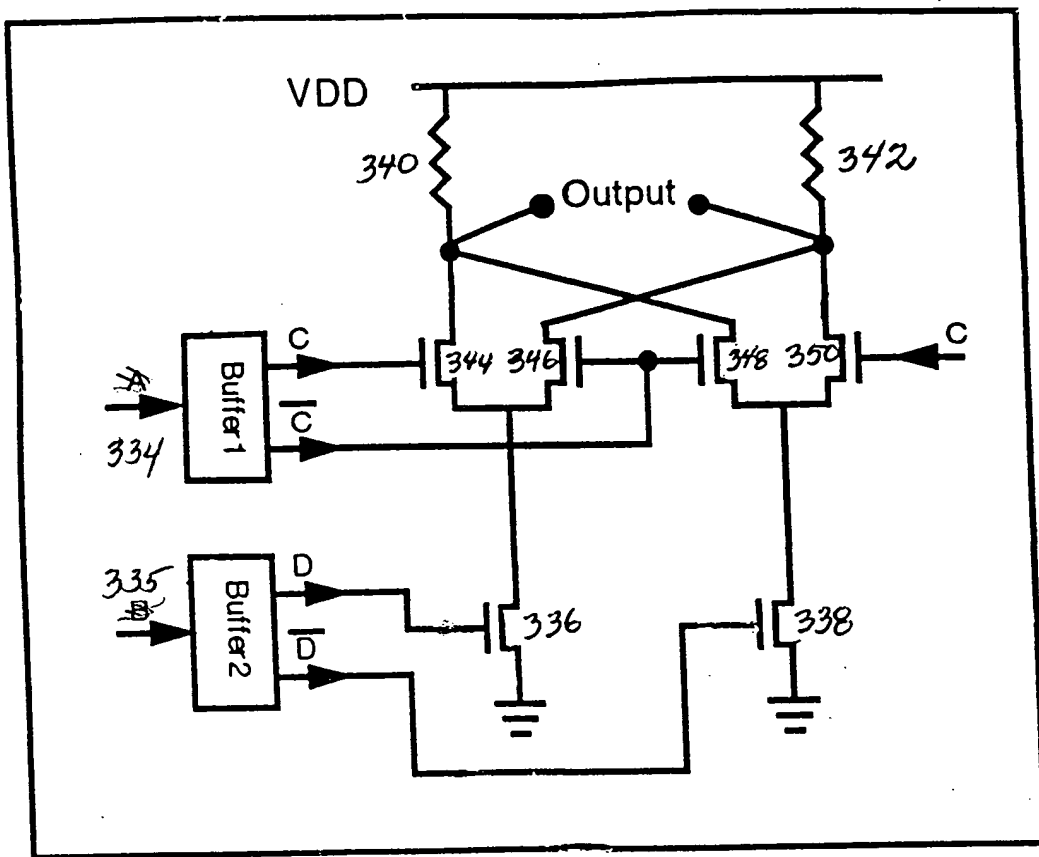


FIG. 23

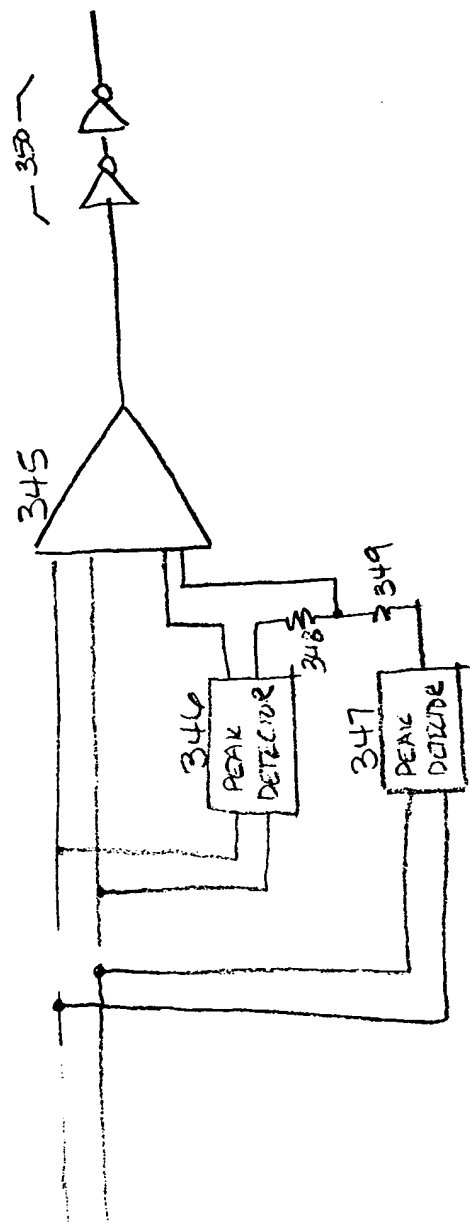
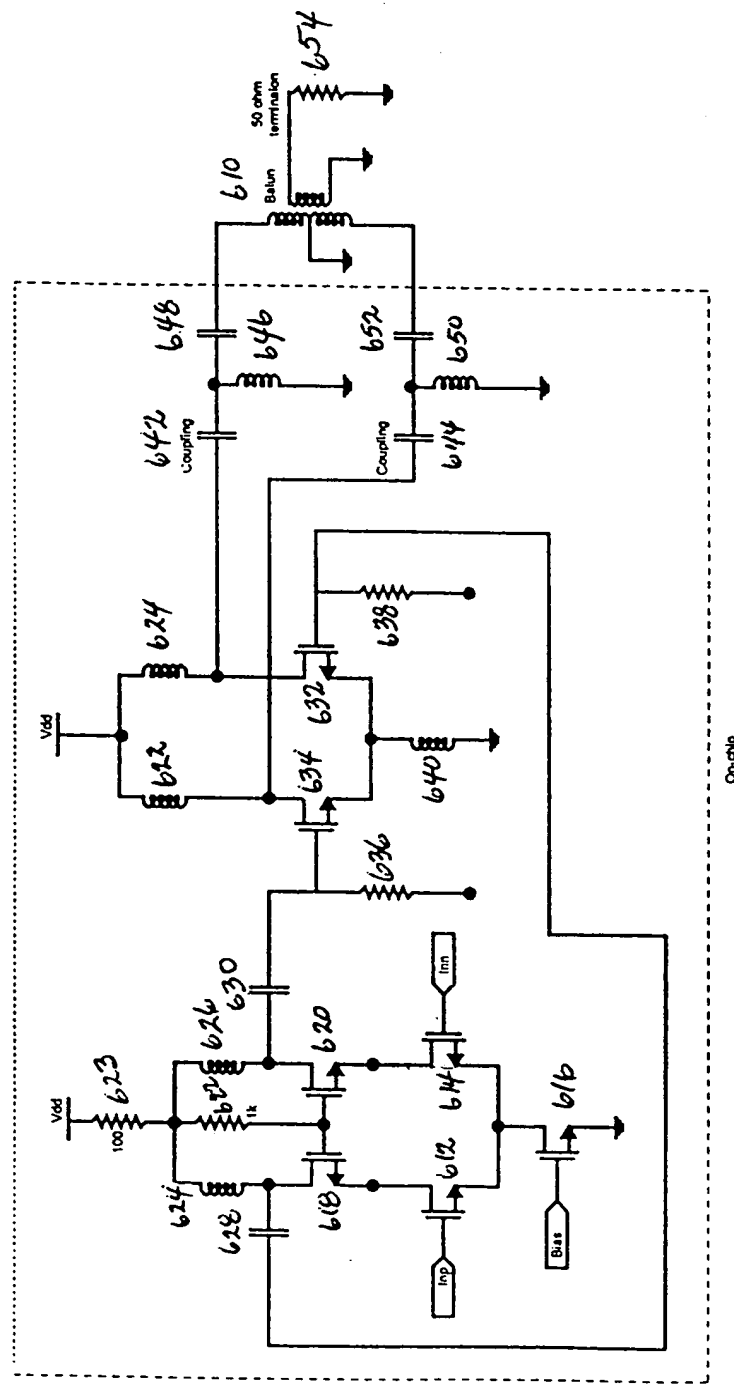


FIGURE 24



F16. 25

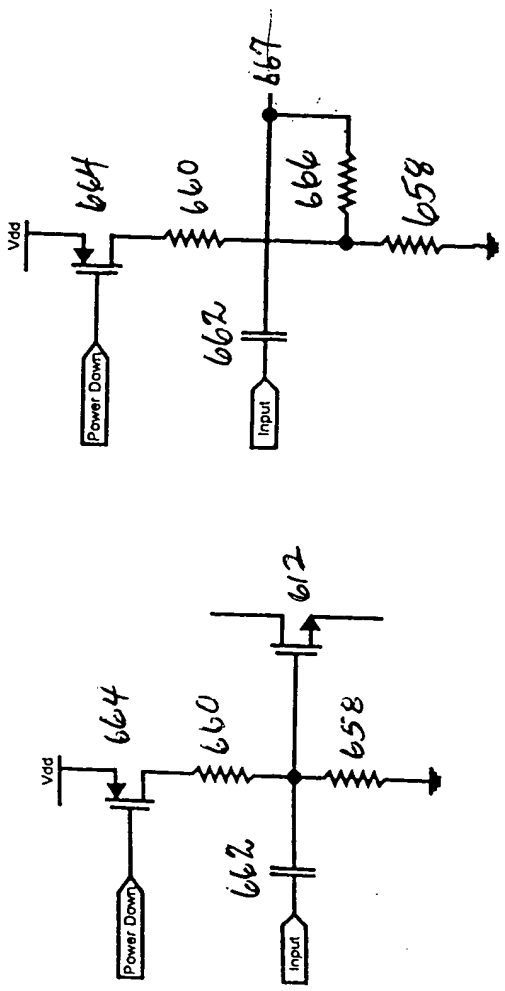


FIG. 26(a)

FIG. 26(b)

003707 - 22976360

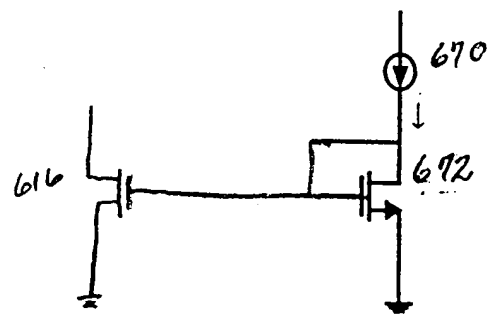


FIG. 27

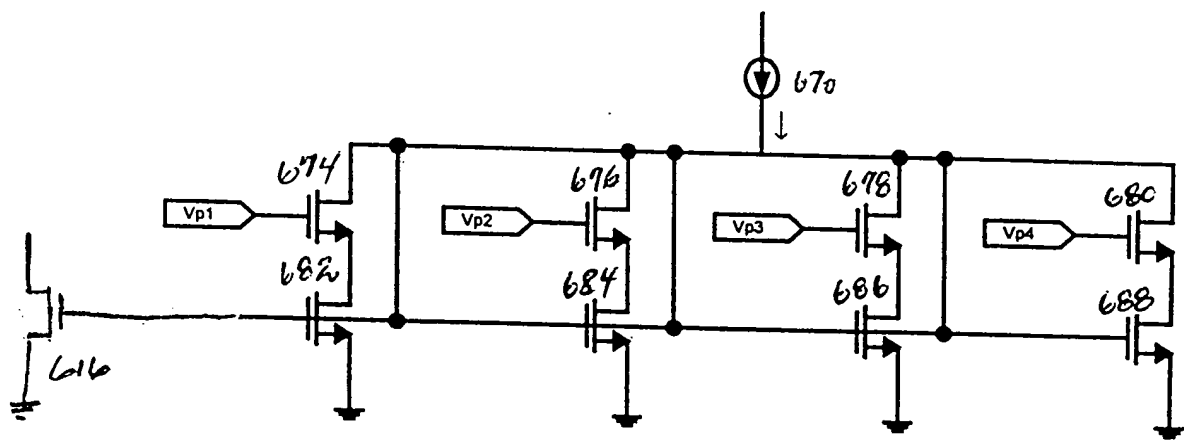


FIG. 28

00360122376960

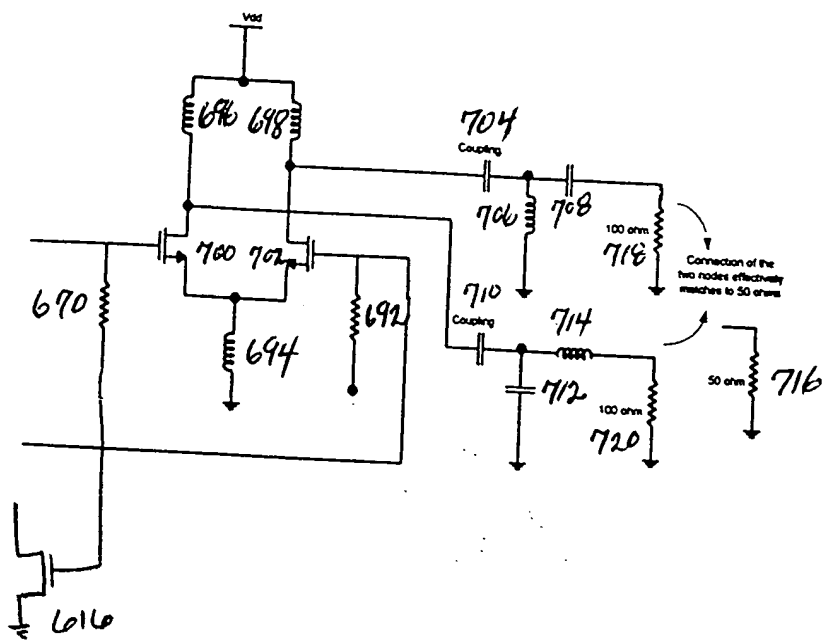


FIG. 29

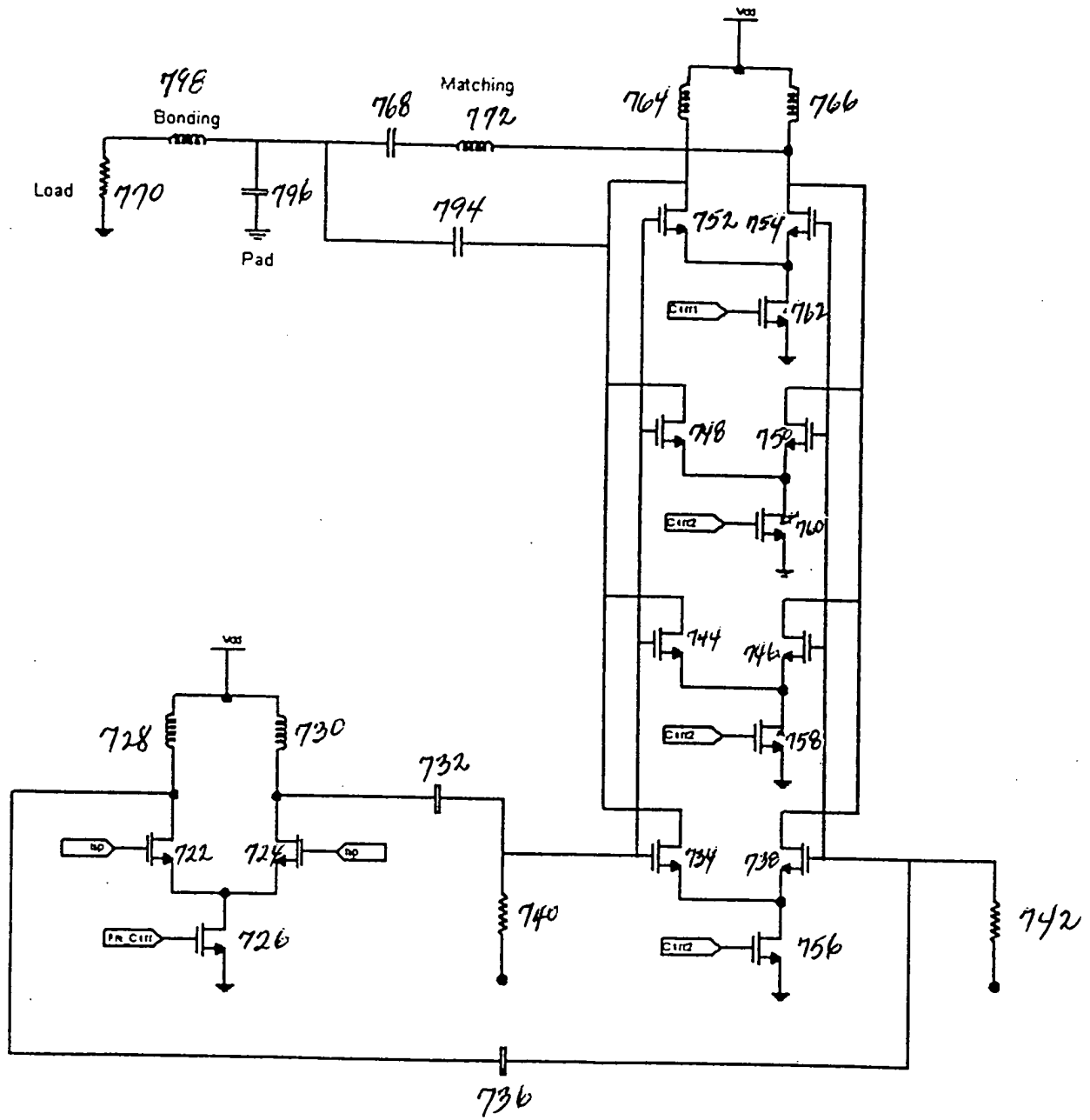


FIG. 30

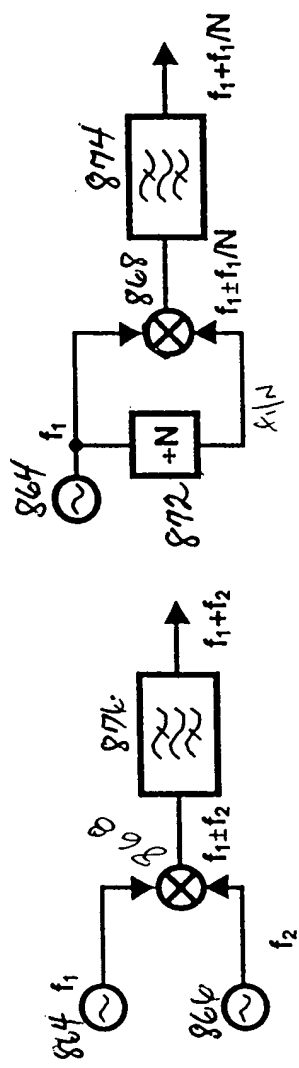


FIG. 31 (b)

FIG. 31 (a)

0007607 = 0009760

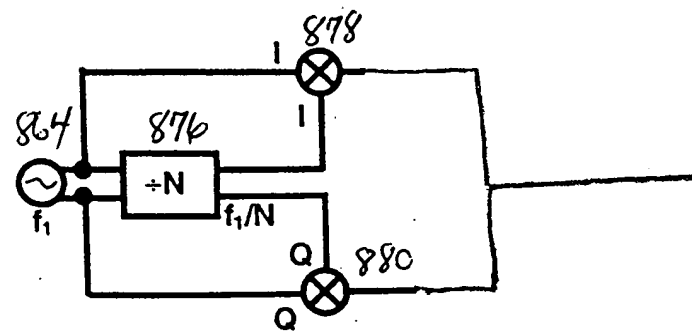
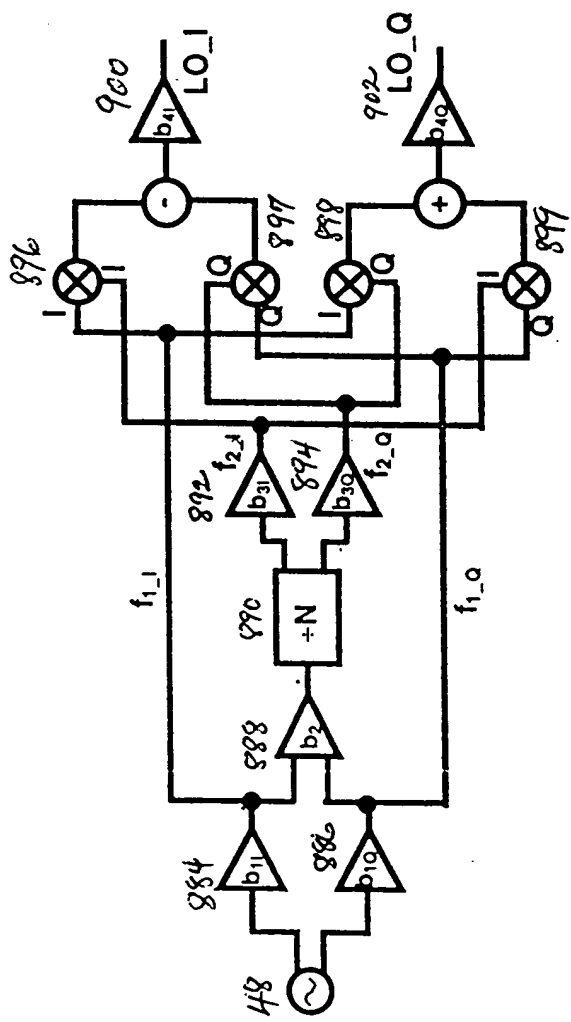


FIG. 32



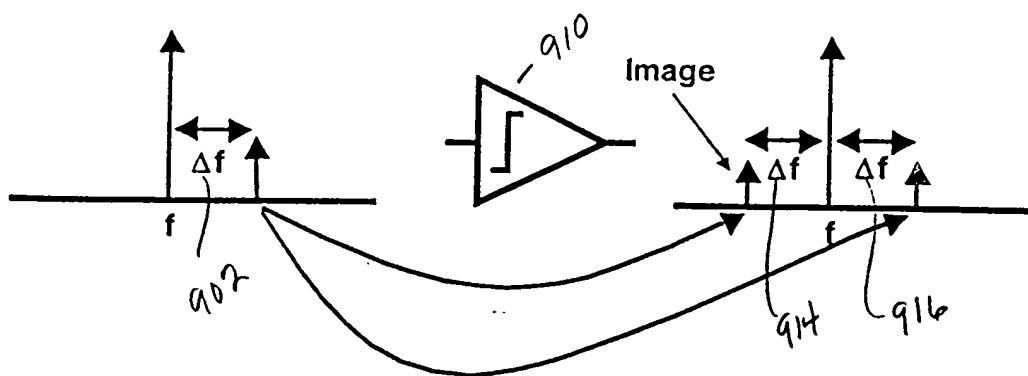


FIG. 33(a)

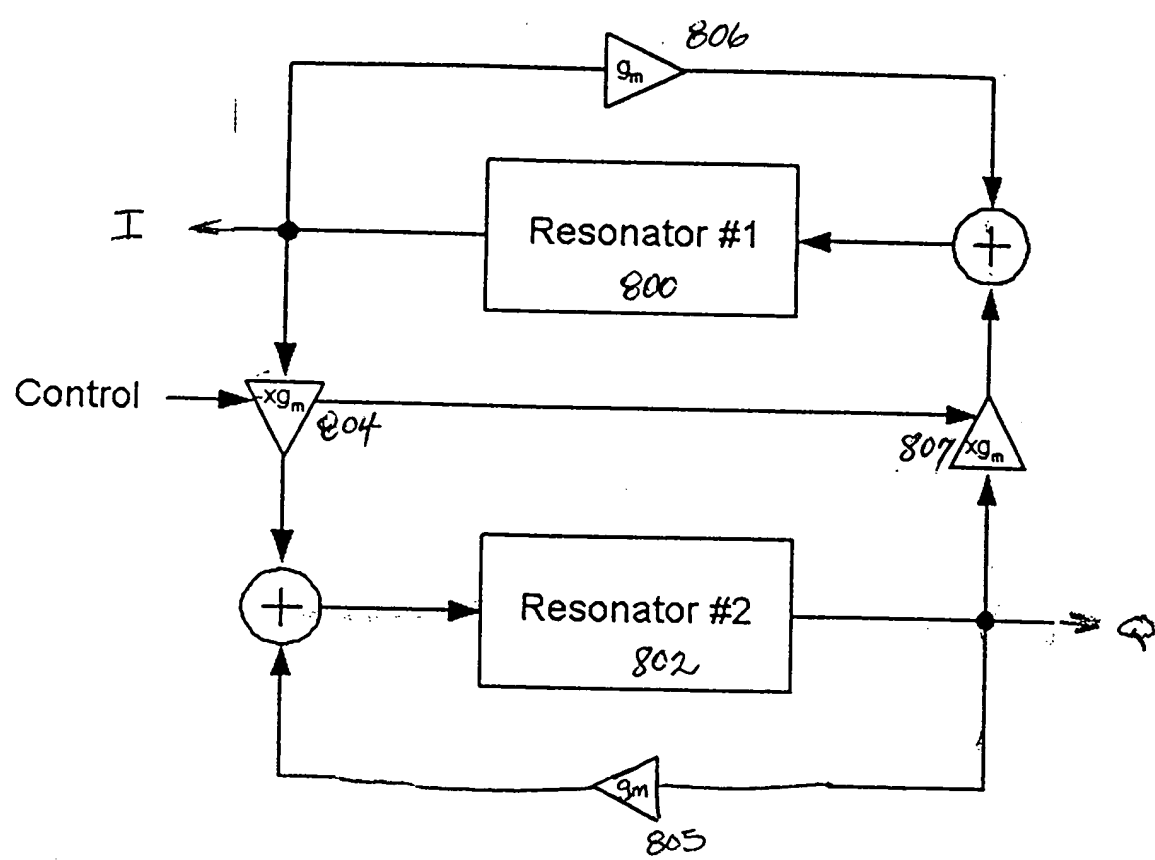


FIG. 34

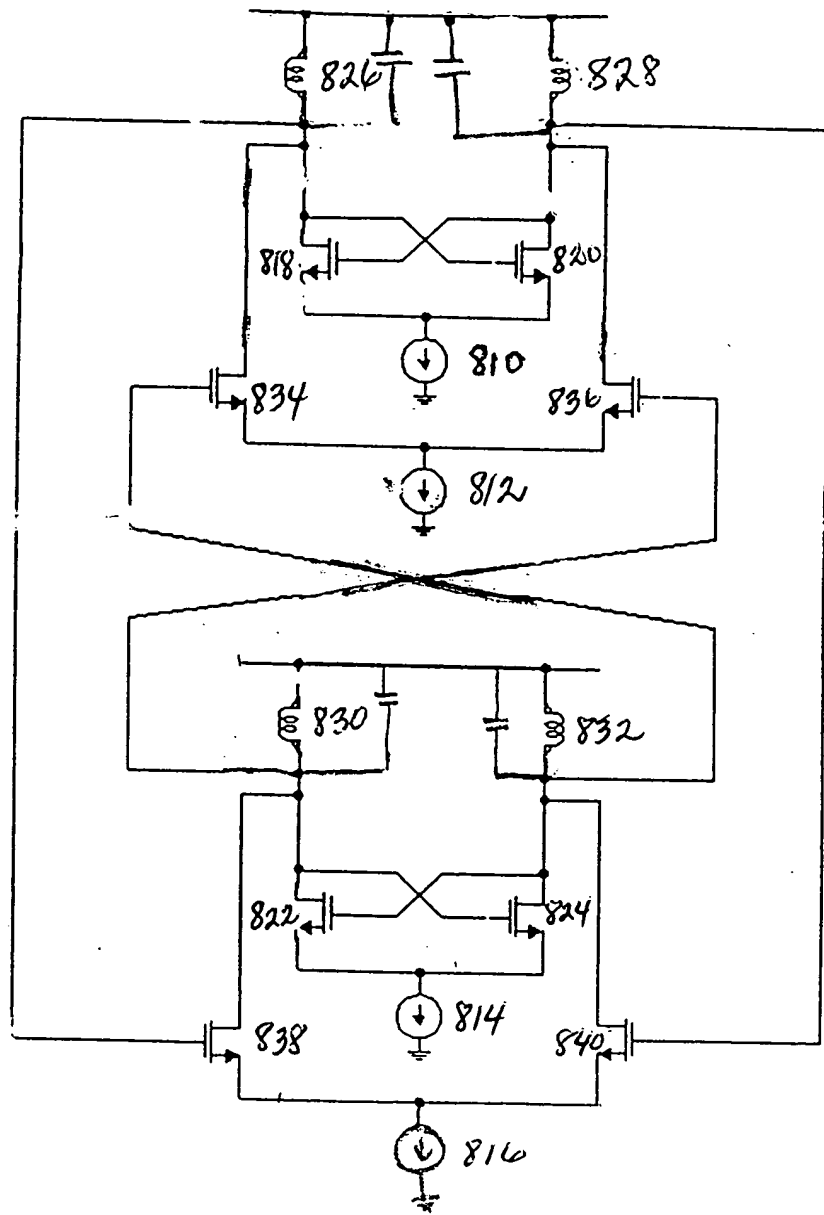


FIG. 35

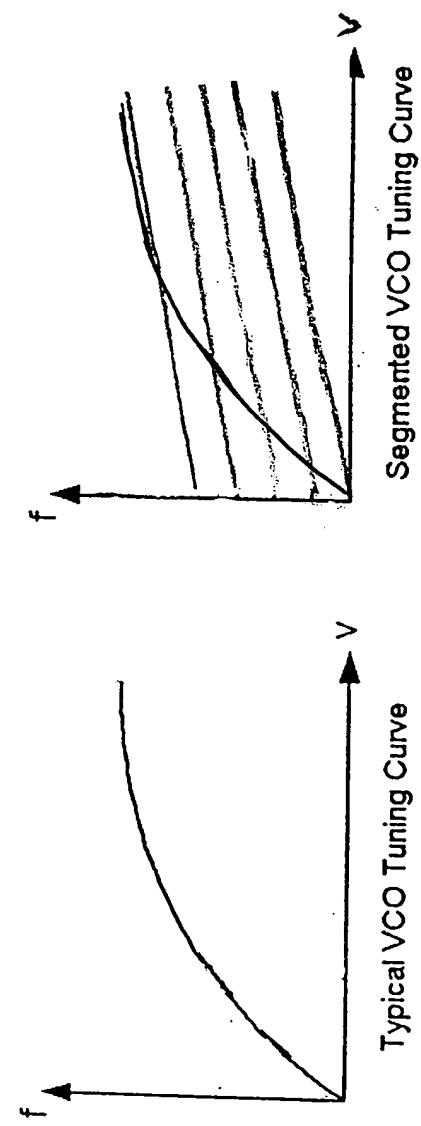


FIG. 36(b)

FIG. 36(a)

FIG. 37(a)

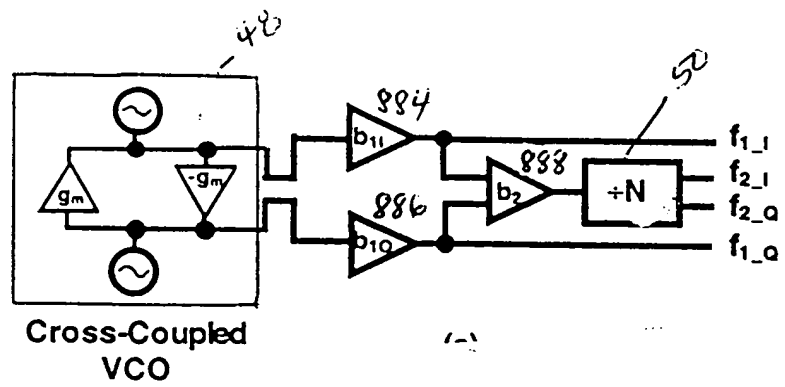
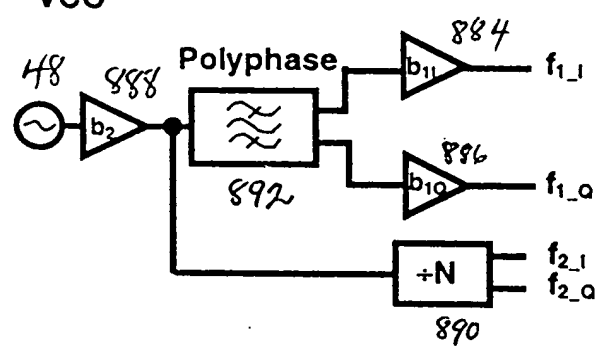


FIG. 37(b)



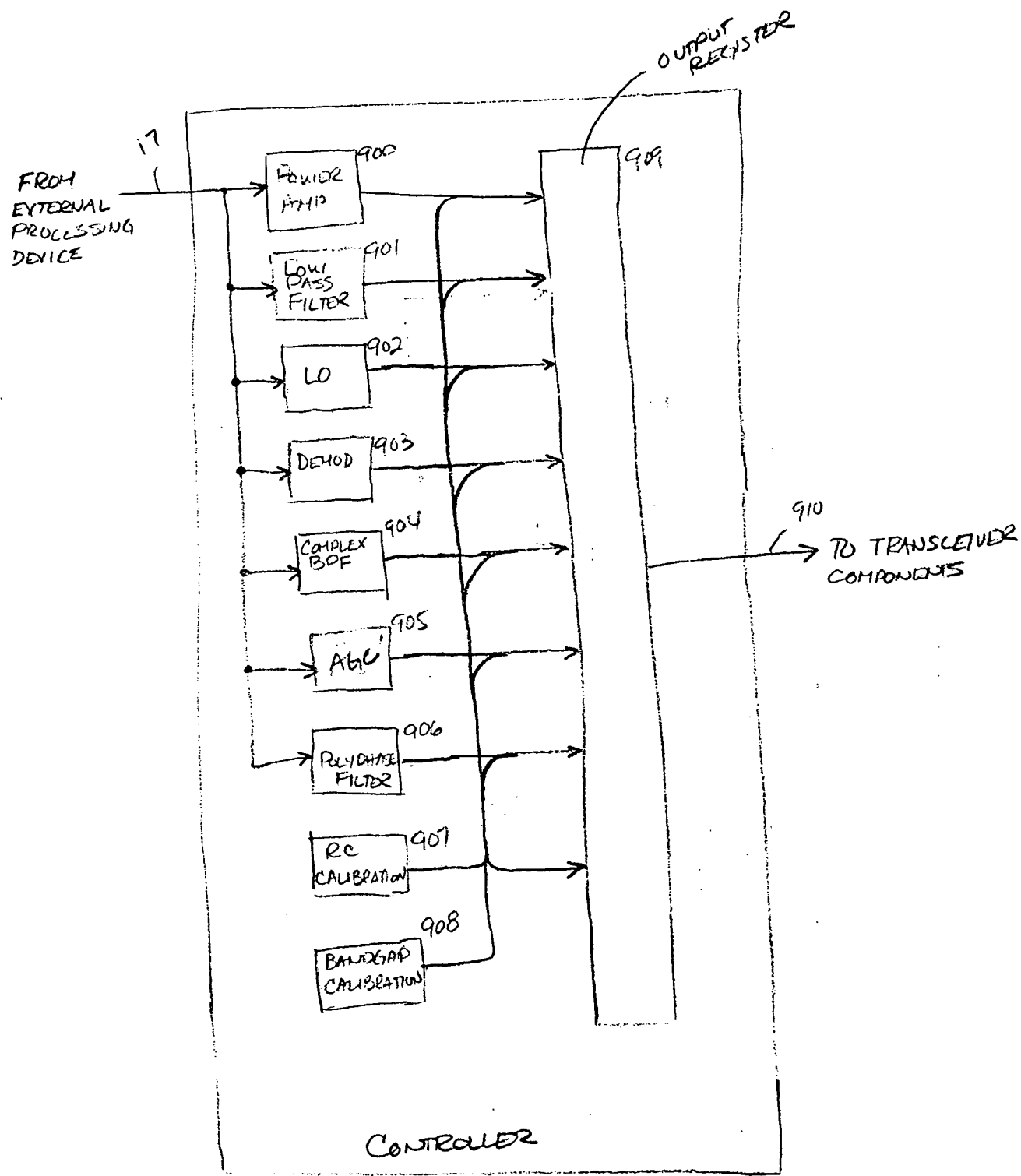


FIGURE 38

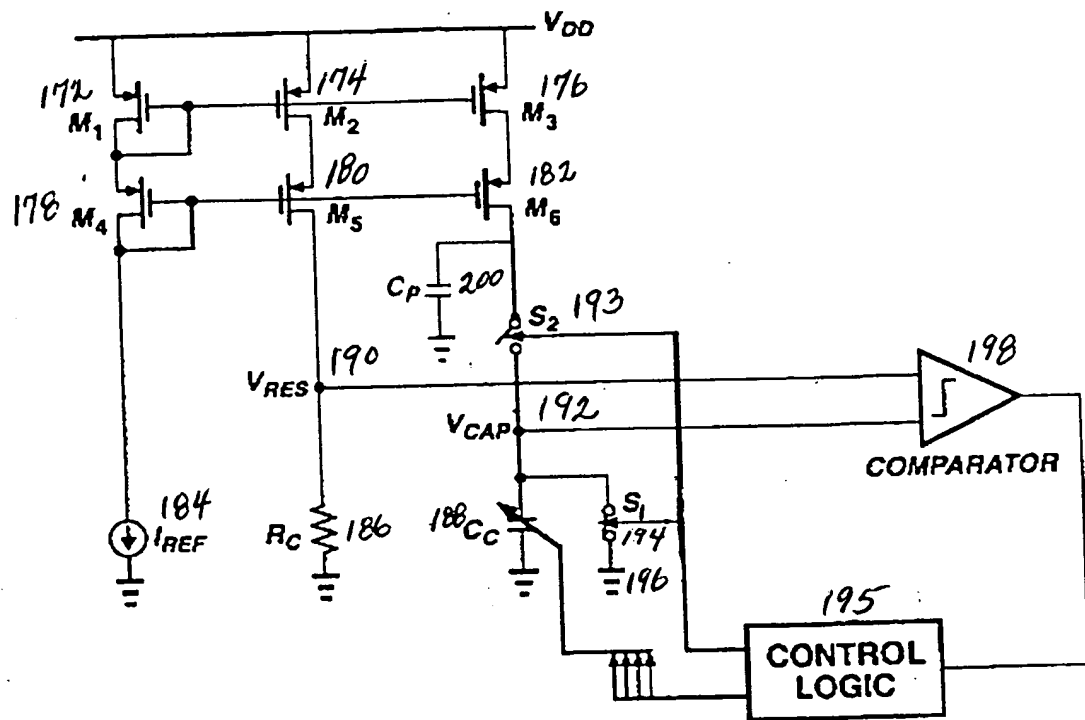


FIG. 39

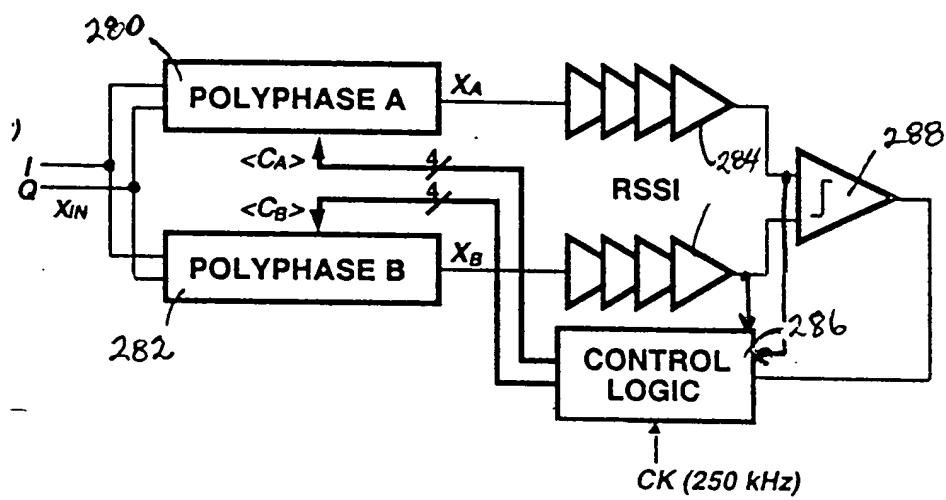


FIG. 40

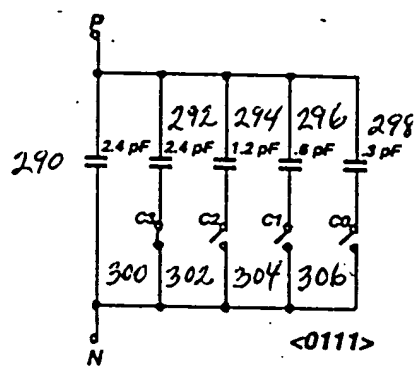


FIG. 41

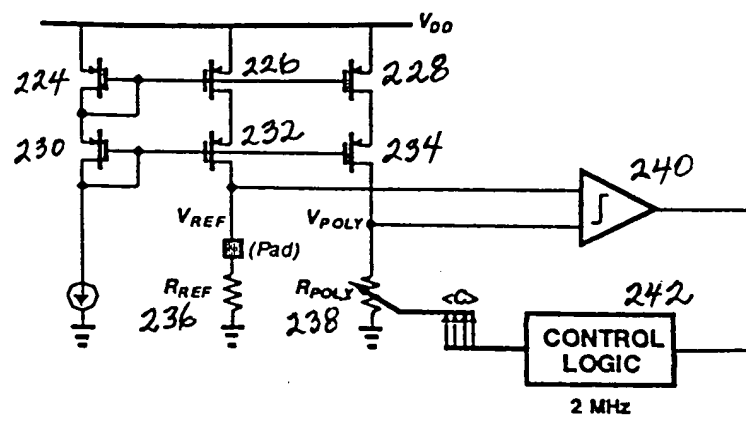


FIG. 42

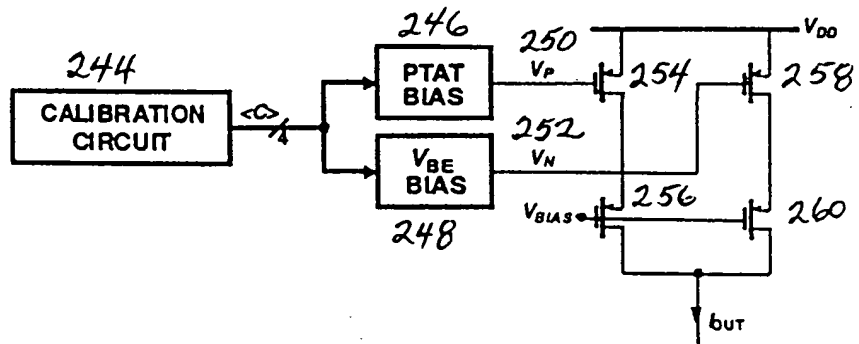


FIG. 43

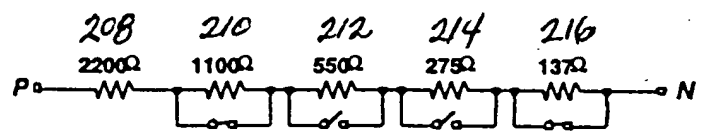


FIG. 44

00000000000000000000000000000000

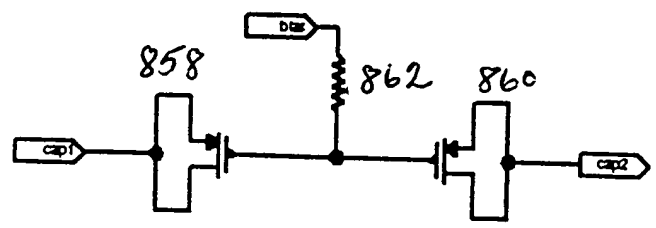


FIG. 45

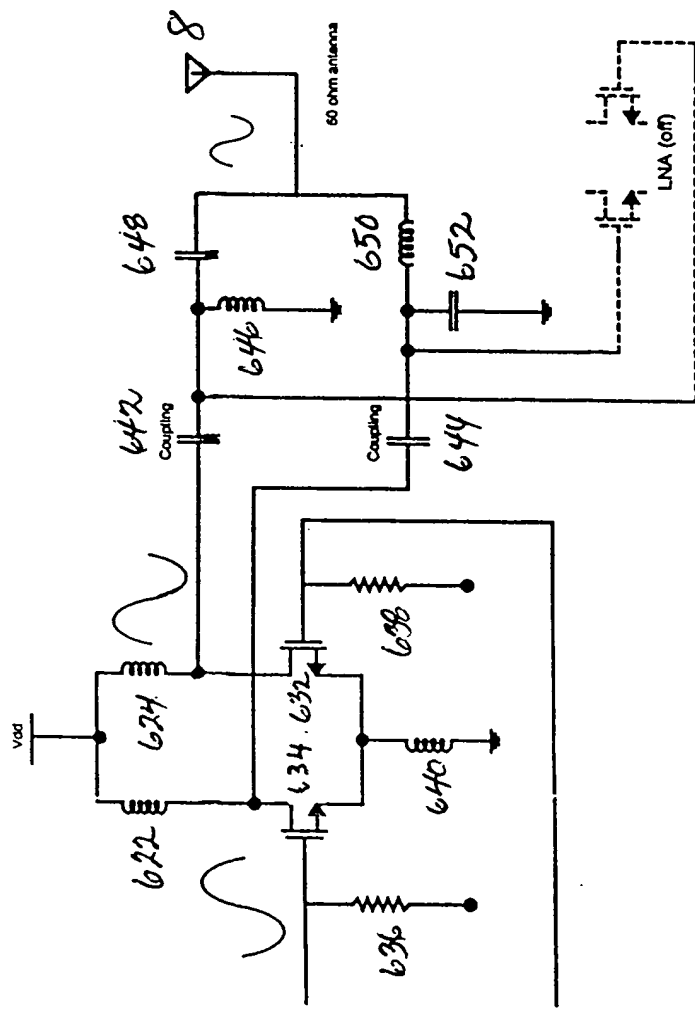


FIG. 440

卷之三

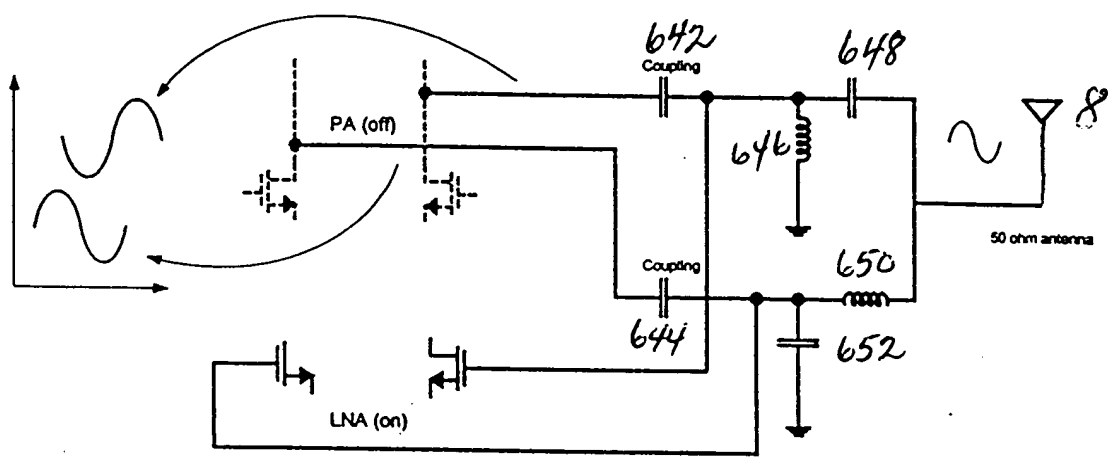


FIG. 47